

## کنترل بهینه ربات زمینی چرخدار غیرهولونومیک با کنترل کننده LQG

پیام نوریزاده<sup>۱</sup>، عقیل یوسفی‌کما<sup>۲\*</sup>، موسی آیتی<sup>۳</sup>

۱- دانشجوی کارشناسی ارشد، دانشکده مهندسی مکانیک، دانشگاه تهران، تهران

۲- استاد، مهندسی مکانیک، دانشگاه تهران، تهران

۳- استادیار، مهندسی مکانیک، دانشگاه تهران، تهران

\* تهران، صندوق پستی ۱۱۱۵۵-۴۵۶۳

### چکیده

در این مقاله به کنترل بهینه ربات زمینی چرخدار غیرهولونومیک براساس کنترل کننده LQG پرداخته شده است. بدلیل غیرخطی بودن معادلات سینماتیکی حاکم بر این ربات‌ها، کنترلگرهای غیرخطی نقش مهمی را در کنترل آن‌ها بر عهده دارد. در این مقاله پارامترهای معادلات سینماتیکی حاکم به کمک روش‌های شناسایی سیستم‌ها و براساس داده‌های آزمایش استخراج شده است. مدل‌های گستته خطی در پارامتر در نظر گرفته شده و مرتباً بهینه مدل و کارایی مدل با کمک آزمون‌های آماری به دست آورده شده است. پارامترهای مدل با روش حداقل مربعات (LS) و نحوه همگرایی پارامترهای مدل با روش حداقل مربعات بازگشتی (RLS) با ضریب فراموشی تخمین زده شده‌اند. با استخراج و صحبت‌سنگی مدل گستته خطی با داده‌های آزمایش عملی، امکان طراحی کنترلگرهای خطی میسر گردیده‌اند. بدین منظور کنترلگر بهینه LQG برای ریدایلی مسیر هدف توسط ربات زمینی چرخدار طراحی شده که در آن با کمک تخمین گر کالمان، امکان تخمین یکشی از متغیرهای حالت که در دسترس نبوده‌اند، میسر گردیده است. به کارگیری کنترلگر خطی بهینه به همراه شناسایی سیستم، موجب سادگی و کاهش حجم محاسبات در مقایسه با کنترلگرهای غیرخطی گردیده است. در نهایت کنترلگر طراحی شده در محیط نرم‌افزار متلب- سیمولینک شبیه‌سازی شده است و نتایج نشان‌دهنده کارایی مناسب کنترلگر در ریدایلی مسیر مطلوب می‌باشد.

### اطلاعات مقاله

مقاله پژوهشی کامل

دریافت: ۰۳ مرداد ۱۳۹۵

پذیرش: ۰۶ شهریور ۱۳۹۵

ارائه در سایت: ۰۴ مهر ۱۳۹۵

کلید واژگان:

ربات زمینی چرخدار

شناسایی سیستم‌ها

حداقل مربعات بازگشتی

LQG

تخمین گر کالمان

## Optimal Control of Non-holonomic Wheeled Mobile Robot Using Linear Quadratic Gaussian Controller

Payam Nourizadeh, Aghil Yousefi-Koma\*, Moosa Ayati

School of Mechanical Engineering, University of Tehran, Tehran, Iran  
\* P.O.B. 11155-4563, Tehran, Iran, aykoma@ut.ac.ir

### ARTICLE INFORMATION

Original Research Paper

Received 24 July 2016

Accepted 27 August 2016

Available Online 25 September 2016

#### Keywords:

Mobile robot

System identification

Recursive least square

LQG controller

Kalman observer

### ABSTRACT

In this paper, designing an optimal linear controller for non-holonomic wheeled mobile robots based on Linear Quadratic Gaussian (LQG) controller is considered. Parameters of the governing kinematics equation of motion are derived based on system identification techniques by using real experimental data. The autoregressive moving average-exogenous input (ARMAX) models are taken into account. The least square (LS) algorithm is utilized to estimate the parameters of the model. Thereafter, optimal model order and the performance of the model are determined using several statistical analyses. Also, the recursive LS (RLS) with forgetting factor is employed to demonstrate the convergence of the model parameters. Verification of the discrete linear model implies the possibility of using the linear controllers. Therefore, the optimal LQG controller for wheeled mobile robots is designed to track the reference trajectory. The Kalman observer is used to estimate un-measurable states of the robot. Furthermore, the optimal linear control together with system identification techniques yields a simpler controller than nonlinear controllers. Designed controller and verified model are simulated using the MATLAB-Simulink software. Results show the effectiveness of the controller in tracking the desired reference trajectory.

<sup>۱</sup> با کمک تنظیم گشتوار دو موتور در چرخ‌ها، مختصات مکانی و جهت‌گیری ربات را کنترل می‌کنند [۱]. مشکل اصلی این ربات‌ها غیرخطی بودن معادلات سینماتیکی حاکم بوده که به واسطه‌ی آن، کنترلگرهای غیرخطی نقش مهمی در تنظیم رفتار این دسته از ربات‌ها را بر عهده دارند. غیرخطی بودن معادلات در کنار قید دینامیکی غیرهولونومیک و چند ورودی- چند خروجی (MIMO) بودن این سیستم‌ها، طراحی کنترلگر برای

-۱ - مقدمه

امروزه با گسترش دانش کنترل، ربات‌های متجرک زمینی چرخدار مورد توجه قرار گرفته‌اند. قابلیت کار در فضاهای مختلف، عدم محدودیت فضای کاری، عملیات پذیری، سادگی مکانیکی و غیره، از جمله قابلیت‌های مهم این دسته از ربات‌ها می‌باشند. این ربات‌ها دارای سه درجه آزادی در صفحه شامل مختصات مکانی و جهت‌گیری می‌باشند. در این بین، ربات‌های

<sup>1</sup> Non-holonomic

<sup>2</sup> Multi Input- Multi Output

مرجع طراحی و پیاده‌سازی کرده است. در [11] با کمک الگوریتم فازی، یک کنترلگر<sup>4</sup> LQR<sup>5</sup> براساس معادلات گستته حاکم طراحی نموده است. مرجع [12] به منظور بهبود عملکرد ردگیری مسیر مرجع، یک تابع کسینوسی شبکه عصبی توسعه‌یافته برای ربات‌های متوجه غیرهولونومیک ارائه داده است. مزیت اصلی این مقاله افزایش کارایی کنترلگر در پیاده‌سازی برخط این سیستم‌ها می‌باشد. در [13] کنترلگر شبکه عصبی تطبیقی برای کنترلگر مسئله لغزش این دسته از ربات‌ها ارائه شده است. در طراحی این کنترلگر مسئله لغزش چرخ‌های ربات نیز در نظر گرفته شده و پایداری سیستم با تئوری لیپانوف<sup>6</sup> بررسی شده است. برخی از مقالات سعی بر حل مشکلات پیاده‌سازی عملی این سیستم‌ها را نیز داشته‌اند. در این راستا مرجع [14] به طراحی کنترلگر مقاوم برای ردیابی مسیر مرجع پرداخته است. آن‌ها در طراحی سیستم کنترلی مشکل اندازه‌گیری سرعت خطی و زاویه‌ای ربات را در نظر گرفته‌اند. در [15] یک کنترلگر ردیاب مسیر مرجع با قید بهینه‌سازی مصرف انرژی براساس معادلات غیرخطی طراحی شده است. با تعریف تابع هزینه براساس انرژی مصرفی، ورودی‌های کنترلی مطلوب محاسبه شده است. مرجع [16] نیز مشابه [15] از اصول کنترل بهینه برای کنترل رفتار ربات‌های زمینی چرخدار استفاده کرده است. آن‌ها با خطی‌سازی معادلات، کنترلگر بهینه خطی LQR برای این سیستم طراحی کرده و نتایج آن را بررسی کرده‌اند. مشکل اصلی این مقاله و مقالات مشابه، خطی‌سازی معادلات سیستم حول نقطه مشخصی بوده که با توجه به متوجه بودن این ربات‌ها، در عمل نقطه کاری مشخصی وجود نداشته و با دور شدن از نقطه موردنظر، خطاهای مرتبه‌ی بالا تاثیر زیادی در طراحی می‌گذارند. مرجع [17] مسئله تعقیب مسیر مطلوب برای یک ربات متوجه زمینی چرخدار غیرهولونومیک در نظر گرفته شده است. آن‌ها یک کنترلگر غیر مدل مبنای برای ربات طراحی کرده و پایداری آن را با کمک قصبه‌ای پایداری لیپانوف اثبات کرده‌اند. همچنین کارایی کنترلگر نیز با پیاده‌سازی نشان داده شده است. مرجع [18] طراحی مسیر بهینه برای ربات‌های متوجه چرخدار غیرهولونومیک پرداخته است. آن‌ها با بازنویسی معادلات به صورت مسئله کنترل بهینه، مسیر ربات را طراحی کرده و نتایج را با شبیه‌سازی و پیاده‌سازی نشان داده‌اند.

با بررسی مقالات در این زمینه مشاهده شد که در زمینه کنترل ربات‌های چرخدار براساس معادلات استخراج شده برمبنای روش‌های شناسایی سیستم، مطالعات کمی صورت گرفته و می‌باشد تحقیقات بیشتری در این قسمت صورت گیرد که در این مقاله به این مهم پرداخته شده است.

در این مقاله برای ربات‌های زمینی چرخدار غیرهولونومیک به منظور ردگیری مسیر مرجع، کنترلگر بهینه LQG<sup>7</sup> طراحی شده است. برای طراحی این کنترلگر، معادلات حاکم بر سیستم باید خطی باشند. بدین منظور ابتدا ارائه یک مدل خطی گستته (ARMAX) با کمک اصول شناسایی سیستم در نظر گرفته شده است. در این راستا، داده‌های آزمایش عملی و آزمون‌های آماری مختلف برای بررسی صحت مدل انتخابی به کار گرفته شده است. همچنین برای یافتن میزان کارایی مدل نهایی، از آزمون آماری مربع R<sup>2</sup> استفاده شده است. پس از یافتن مدل مناسب، کنترلگر بهینه LQG گستته برای سیستم طراحی شده است. این روند با تعریف تابع هزینه شروع شده و ورودی کنترلی مناسب برای کمینه شدن تابع هزینه محاسبه شده است. در طراحی این کنترلگر یک مشاهده‌گر کالمن در هر لحظه متغیرهای حالت

این ربات‌ها را با پیچیدگی همراه کرده است. همچنین، به دلیل کارکرد این ربات‌ها در محیط‌های پیچیده و وجود عواملی مانند اصطکاک و عدم قطعیت‌ها در سیستم، معمولاً فرآیند طراحی کنترلگر را با سعی و خطا نیز همراه کرده است. عیب اصلی روش سعی و خطا عدم یافتن پارامترهای بهینه کنترلی و وابستگی کنترلگر طراحی شده به پلتفرم انتخابی می‌باشد [2]. یکی از راهکارهای ارائه شده برای حل مشکلات مطرح شده فوق، استفاده از روش‌های شناسایی سیستم برای یافتن پارامترهای ورودی‌ها و خروجی‌های ربات می‌باشد [3]. در این روش مجموعه داده‌های ورودی‌ها و خروجی‌های ربات (بهترین دور موتور و مختصات مکانی و جهت‌گیری ربات) به الگوریتم شناسایی سیستم اعمال شده، و این الگوریتم رابطه‌ی بین ورودی‌ها و خروجی‌ها (مدل سیستم) را پیدا می‌کند. نکته مهم اینست که در داخل داده‌های ورودی و خروجی اعمالی، عدم قطعیت‌ها و پارامترهای مدل نشده در مدل دینامیکی سیستم نهفته می‌باشد. از قابلیت‌های این روش تخمین برخط<sup>1</sup> پارامترهای سیستم با کمک الگوریتم‌های شناسایی بازگشتی می‌باشد. این قابلیت امکان تطبیق مدل با تغییرات احتمالی در سیستم همچون افت ولتاژ باتری، تغییر اصطکاک چرخ‌ها ناشی از عبور از سطوح مختلف و غیره در آزمایش‌های عملی را فراهم می‌کند [3]. مزیت مهم دیگر این روش در صورت یافتن مدل ARMAX<sup>2</sup> مناسب، به کارگیری کنترلگرهای خطی بوده که از نظر پیچیدگی طراحی و حجم محاسبات، به کنترلگرهای غیرخطی برتری دارند.

در حوزه شناسایی سیستم و یافتن مدل ربات‌های زمینی چرخدار، تحقیقات کمتری نسبت به طراحی کنترلگر برای این ربات‌ها صورت گرفته است. اما در زمینه شناسایی پارامترهای سیستم‌های مکانیکی پژوهش‌های مختلفی صورت گرفته است [5,4]. در مرجع [3] با کمک روش‌های شناسایی سیستم، مدل سینماتیکی خطی و غیرخطی (NARMAX و ARMAX<sup>3</sup>) برای ربات زمینی چرخدار به دست آورده است. سپس، کارایی مدل ارائه شده را با داده‌های آزمایش صحبت‌سنجی کرده‌اند. همچنین، نشان دادن که مدل خطی اختلاف ناچیزی با مدل غیرخطی داشته و این مدل به خوبی سینماتیک ربات را توصیف کرده است. در مرجع [2] روشی برای طراحی یک کنترلگر به منظور آموزش ربات زمینی چرخدار بر پایه اصول شناسایی سیستم ارائه شده است. آن‌ها همچنین رابطه‌ای خطی و غیرخطی بین داده‌های به دست آمده از حسگرها و ورودی‌های موتور را به دست آورده‌اند. در مرجع [6] برای مدل سازی و شناسایی سیستم ربات زمینی چرخدار الگوریتمی بیان شده است. در این روش از مسیر طی شده به جای مختصات مکانی (افقی و عمودی) ربات استفاده کرده‌اند. مزیت مدل گستته ارائه شده‌ی آن‌ها خطی بودن معادلات بوده ولی اندازه‌گیری مستقیم مسیر طی شده مشکل ساز شده است. مرجع [7] نیز دو مدل چند ورودی- یک خروجی پیشنهاد داده‌اند. آن‌ها همانند مرجع [6] از مسیر طی شده برای به دست آوردن مدل خطی استفاده کرده‌اند و همچنین روش حداقل مربعات بازگشتی (RLS) برای تخمین پارامترهای مدل به کار گرفته شده است.

همان‌طور که اشاره شد، در قسمت کنترل این دسته از ربات‌ها، گستردگی پژوهش‌ها بیشتر از بخش شناسایی سیستم‌ها می‌باشد [9,8]. در اکثر این مقالات از معادلات غیرخطی حاکم استفاده شده است. بر این اساس، دو گروه کنترلگرهای خطی و غیرخطی برای این سیستم‌ها به کار گرفته شده است. مرجع [10] یک کنترلگر مدل لغزشی انتگرالی به منظور ردگیری مسیر

<sup>4</sup> Linear Quadratic Regulator<sup>5</sup> Lyapunov<sup>6</sup> Linear Quadratic Gaussian<sup>7</sup> R-squared<sup>1</sup> Online<sup>2</sup> Autoregressive moving average-exogenous input<sup>3</sup> Nonlinear ARMAX

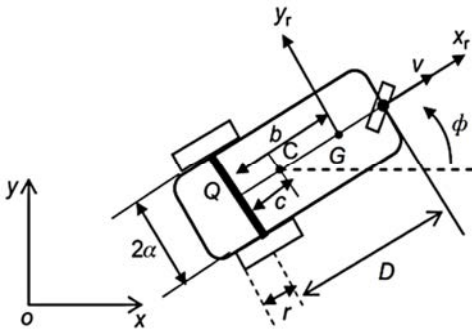


Fig. 1 Geometric of wheeled mobile robot [1]

[1] تصویر شماتیک ربات چرخدار

در رابطه بالا  $m$  جرم ربات،  $I_1$  و  $I_2$  بترتیب ممان ایرسی حول محور  $Z$  و  $L_1$  و  $L_2$  بترتیب شعاع چرخها و فاصله طولی چرخهای عقب از یکدیگر و  $\alpha$  و  $\tau$  به ترتیب گشتاور چرخهای راست و چپ می‌باشد. به منظور حذف قید از معادله حاکم، ماتریس  $R(q)$  به صورت رابطه (6) تعریف می‌شود.

$$R^T(q)J^T(q) = 0 \quad (6)$$

با توجه به معادله (2) و (6) می‌توان نشان داد که بردار  $v(t)$  وجود دارد به نحوی که:

$$\dot{q}(t) = R(q)v(t) \quad (7)$$

با اعمال تبدیل بالا، معادله (3) به نحو زیر بازنویسی می‌شود.

$$\dot{D}(q)\dot{v} + \dot{C}(q, \dot{q})v + \dot{G}(q) = \dot{B}(q)\tau \quad (8)$$

که در رابطه بالا:

$$\begin{aligned} \dot{D} &= R^T D R, \dot{C} = R^T D \dot{R} + R^T C R \\ \dot{G} &= R^T G, \dot{B} = R^T B \end{aligned} \quad (9)$$

اگر ماتریس  $R(q)$  به صورت رابطه (10) تعریف گردد،

$$R(q) = \begin{bmatrix} \cos \phi & 0 \\ \sin \phi & 0 \\ 0 & 1 \end{bmatrix} \quad (10)$$

آن گاه معادله (5) به صورت بدست می‌آید.

$$\begin{bmatrix} m & 0 \\ 0 & I_{ZZ} \end{bmatrix} \begin{bmatrix} \dot{v} \\ \dot{\omega} \end{bmatrix} = \frac{1}{L_1} \begin{bmatrix} 1 & 1 \\ L_2 & -L_2 \end{bmatrix} \begin{bmatrix} \tau_1 \\ \tau_2 \end{bmatrix} \quad (11)$$

در رابطه بالا،  $v$  و  $\omega$  به ترتیب سرعت خطی و زاویهای ربات می‌باشد. با اعمال تبدیلات بالا، در نهایت معادله دینامیکی حاکم به صورت زیر بدست می‌آید.

$$\begin{cases} \dot{x} = v \cos \phi \\ \dot{y} = v \sin \phi \\ \dot{\phi} = \omega \\ \dot{v} = \frac{1}{mL_1} (\tau_1 + \tau_2) \\ \dot{\omega} = \frac{L_2}{I_{ZZ}L_1} (\tau_1 - \tau_2) \end{cases} \quad (12)$$

همان‌طور که مشخص است، معادلات سینماتیکی ربات غیرخطی بوده و طراحی کنترلگر برای این دسته از ربات‌ها را با محدودیت مواجهه کرده است. بدین منظور در گام بعدی با کمک روش‌های شناسایی سیستم، سعی در ارائه یک مدل جدید برمنای ARMAX داریم.

### 3- طراحی کنترلگر

#### 3-1-3- شناسایی سیستم

در این قسمت ابتدا یافتن یک مدل مناسب برای توصیف حرکت ربات‌های چرخدار در نظر گرفته می‌شود. مدل انتخابی از نوع ARMAX بوده و رابطه

سیستم را تخمین زده و ورودی کنترلی را اعمال می‌کند. در نهایت کارایی کنترلگر در ردیابی مسیر مرجع مورد بررسی قرار گرفته و نتایج بیانگر عملکرد مناسب سیستم کنترلی طراحی شده است. مزیت اصلی این مقاله در مقایسه با دیگر پژوهش‌ها، به کارگیری مدل به دست آمده از روند شناسایی سیستم برای طراحی کنترلگر می‌باشد. خطی بودن و کارایی مدل در کل بازه حرکتی ربات، امکان طراحی کنترل کننده‌های خطی را میسر کرده است. به دلیل استخراج این مدل از آزمایش عملی برخلاف مدل‌سازی‌های ریاضی متداول، عدم قطعیت‌ها و دیگر پارامترهای مدل نشده نیز در نظر گرفته شده است. از دیگر قابلیت‌های روش ارائه شده، امکان استفاده از سیستم‌های کنترلی تطبیقی بوده که در کنار شناسایی سیستم برخط، توانایی تطبیق با تغییرات سیستم از قبیل کاهش ولتاژ باتری، اصطکاک‌ها و غیره را دارا می‌باشد.

مقاله به شرح زیر مرتب شده است. در بخش 2 مدل سینماتیکی و دینامیکی ربات ارائه شده است. در بخش 3 به طراحی مکانیزم شناسایی سیستم و کنترل کننده بهینه پرداخته شده است. در قسمت 4 نیز کارایی مدل ارائه شده و کنترل کننده‌ی طراحی شده مورد تجزیه تحلیل قرار گرفته است. پیوست و تقدیر و تشکر مقاله نیز در بخش 5 ارائه شده است. در نهایت نتیجه‌گیری مقاله در بخش 6 آورده شده است.

## 2- مدل سینماتیکی و دینامیکی

در "شکل 1" مدلی شماتیک از یک ربات چرخدار نشان داده شده است. در این مدل دو موتور مستقل به عنوان ورودی ربات بوده و یک چرخ هرزگرد در جلو برای پایدار شدن ربات به کار گرفته شده است. معادله دینامیکی حاکم بر اکثر سیستم‌های غیرهولونومیک براساس فرمول اویلر- لگرانژ<sup>1</sup> به صورت رابطه (1) تعریف می‌گردد [1].

$$\frac{d}{dt} \left( \frac{\partial L}{\partial \dot{q}} \right) - \frac{\partial L}{\partial q} = J^T(q)\lambda + B(q)\tau \quad (1)$$

در رابطه بالا  $q$  متغیر مستقل،  $L$  تابع لگرانژین،  $\lambda$  ضربی لگرانژ،  $\tau$  بردار نیروی عمومی خارجی اعمالی،  $B(q)$  ماتریس تبدیل غیرتکین و  $J(q)$  ماتریس با ابعاد  $m \times n$  می‌باشد. همچنین  $T$  بیانگر ترانهاده می‌باشد. قید غیرهولونومیک در رابطه بالا به صورت زیر می‌باشد.

$$J(q)\dot{q} = 0 \quad (2)$$

از رابطه (1) و (2) به دست می‌آید:

$$D(q)\ddot{q} + C(q, \dot{q})\dot{q} + G(q) = J^T(q)\lambda + B(q)\tau \quad (3)$$

در رابطه بالا  $D(q)$  ماتریس متقارن مثبت معین،  $C(q, \dot{q})$  ماتریس کوریولیس<sup>2</sup> و  $G(q)$  ماتریس گرانش می‌باشد.

با توجه به "شکل 1"، متغیرهای مستقل برای توصیف مختصات ربات در صفحه شامل مختصات مکانی و جهت‌گیری ربات می‌باشد. این متغیرها در بردار زیر نشان داده شده است.

$$q = [x, y, \phi]^T \quad (4)$$

با کمک روابط بالا، معادلات دینامیکی حاکم به نحو زیر به دست می‌آیند.

$$\begin{bmatrix} m & 0 & 0 \\ 0 & m & 0 \\ 0 & 0 & I_{ZZ} \end{bmatrix} \begin{bmatrix} \ddot{x} \\ \ddot{y} \\ \ddot{\phi} \end{bmatrix} = \frac{1}{L_1} \begin{bmatrix} \cos \phi & \cos \phi \\ \sin \phi & \sin \phi \\ L_2 & -L_2 \end{bmatrix} \begin{bmatrix} \tau_1 \\ \tau_2 \end{bmatrix} + \begin{bmatrix} \sin \phi \\ -\cos \phi \\ 0 \end{bmatrix} \lambda \quad (5)$$

<sup>1</sup> Euler- Lagrange  
<sup>2</sup> Cariolis

$$\begin{aligned} \text{میانگین و واریانس نویزها بترتیب به صورت زیر فرض شده‌اند.} \\ \epsilon(\Delta(t)) = 0 \\ \epsilon(\Delta(t)\Delta(t)^T) = \begin{bmatrix} \rho_\sigma & 0 \\ 0 & \rho_\delta \end{bmatrix} \end{aligned} \quad (19)$$

حال برای بدست آوردن ورودی‌های کنترلی، ابتدا قانون کنترلی باید تعریف گردد. با توجه به این که کنترلگر انتخابی از نوع بهینه می‌باشد،تابع هزینه به صورت زیر تعریف می‌گردد.

$$j = \epsilon \left\{ \frac{1}{N} \sum_{i=t_0}^{t-1} \kappa(u(i), \gamma(i)) + \Lambda(t) \varphi_A \Lambda(t)^T \right\} \quad (20)$$

$$N = t - t_0$$

$$\begin{aligned} \text{در رابطه‌ی فوق} \\ \kappa(u(i), \gamma(i)) = u(i) \varphi_u u(i)^T + \gamma(i) \varphi_\gamma \gamma(i)^T \end{aligned} \quad (21)$$

می‌باشد.

همچنین در معادله فوق  $\varphi_u$  و  $\varphi_\gamma$  ماتریس‌های متقاضن مثبت معین می‌باشند. اثبات می‌شود برای کمینه شدن تابع هزینه فوق، ورودی کنترلی باید به صورت زیر باشد.

$$\begin{aligned} u(t) = F(t) \Lambda(t) \\ F(t) = -(\varphi_u + \Omega(t) \mu(t) \Omega(t)^T \mu(t) \theta(t))^{-1} \Omega(t) \mu(t) \theta(t) \end{aligned} \quad (22)$$

در رابطه فوق متغیر  $\mu$  از حل معادله ریکاتی<sup>4</sup> گسسته زیر بدست می‌آید.

$$\begin{aligned} \theta(t)^T \mu(t) \theta(t) - \theta(t)^T \mu(t) \Omega(t) \\ \Omega(t)^T \mu(t) \Omega(t) \end{aligned} \quad (23)$$

ضریب کنترلی رابطه فوق با شرط زیر (بدون در نظر گرفتن نویز در سیستم) محاسبه شده است.

$$\Delta(t) = 0 \quad (24)$$

در رابطه فوق  $O$  ماتریس صفر می‌باشد. کنترلگر طراحی شده با فرض فوق، از نوع LQR می‌باشد. به منظور در نظر گرفتن نویز در سیستم و تخمین متغیرهای حالت سیستم در وضعیتی که تمام متغیرها توسط حسگرهای قابل اندازه‌گیری نباشند، از تخمین‌گر کالمن استفاده شده است. با توجه به شکل 2، ورودی کنترلی به صورت زیر اصلاح می‌شود.

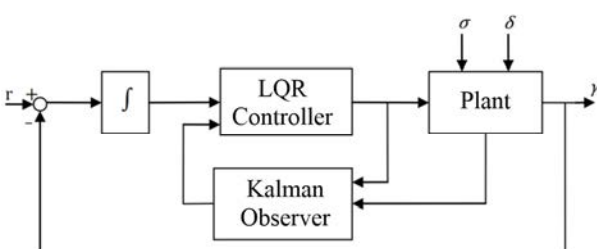
$$u(t) = F(t) \hat{\Lambda}(t) \quad (25)$$

این روش گری با کمک روابط زیر متغیرهای حالت سیستم را تخمین می‌زنند.

$$\begin{cases} \hat{\Lambda}(t) = \hat{\Lambda}(t-1) + \vartheta(t-1)e(t) \\ \hat{\Lambda}(t+1) = \theta(t)\hat{\Lambda}(t) + \Omega(t)u(t) \\ e(t) = \gamma(t) - \Psi(t)\hat{\Lambda}(t-1) \\ \vartheta(t-1) = Y(t)\Psi(t)^T (\rho_\delta + \Psi(t)Y(t)\Psi(t)^T)^{-1} \end{cases} \quad (26)$$

ضریب  $\gamma$  رابطه فوق با حل معادله ریکاتی زیر بدست می‌آید.

$$\begin{aligned} \theta(t)Y(t)\theta(t)^T - Y(t) \\ - \theta(t)Y(t)\Psi(t)^T (\rho_\delta \\ + \Psi(t)Y(t)\Psi(t)^T)^{-1} \times \Psi(t)Y(t)\theta(t)^T \\ + \rho_\sigma = 0 \end{aligned} \quad (27)$$



شکل 2 بلوك-دیاگرام سیستم با کنترلگر [20]

شکل 2 بلوك-دیاگرام سیستم با کنترلگر [22]

<sup>4</sup> Riccati equation

کلی آن به شکل زیر می‌باشد [19].

$$Y(q)y(t) = U(q)u(t) \quad (13)$$

در رابطه فوق  $q$  پارامتر تغییر زمانی و  $t$  زمان می‌باشد. همچنین در رابطه فوق،

$$Y(q) = 1 + \alpha_1 q^{-1} + \alpha_2 q^{-2} + \dots + \alpha_{ny} q^{-ny} \quad (14)$$

$$U(q) = 1 + \beta_1 q^{-1} + \beta_2 q^{-2} + \dots + \beta_{nu} q^{-nu}$$

می‌باشد.

برای مشخص شدن مرتبه مدل ابتدا باید با اعمال ورودی و خروجی‌های مشخص، مقادیر پارامترهای مدل را تخمین زد. برای این منظور از الگوریتم حداقل مربعات (LS) استفاده شده است [19].

پس از یافتن مقادیر پارامترها، برای یافتن مرتبه مناسب مدل از آزمون‌های تعیین مرتبه مدل (آزمون F، AC<sup>1</sup>, AC<sup>2</sup> و CC<sup>2</sup>) استفاده شده است [3]. این آزمون‌ها میزان کارایی مدل انتخابی را مشخص نمی‌کنند. بدین منظور برای انتخاب مرتبه مناسب از بین مدل‌های پیشنهادی هر یک از آزمون‌ها، یک تست آماری دیگر به نام مربع R به کار گرفته شده است [20]. این تست کارایی مدل در تطبیق با داده‌های واقعی را نشان می‌دهد. گرچه این تست برای تخمین مرتبه مدل مناسب نمی‌باشد، اما یک معیار مناسب برای نشان دادن قابلیت تخمین مدل انتخابی می‌باشد. لازم به ذکر است که حاصل این تست به صورت درصد بیان می‌گردد. در نهایت برای نشان دادن محدوده کارایی مدل و طریقه همگرایی پارامترهای آن، از الگوریتم تخمین حداقل مربعات بازگشتی (RLS) با ضریب فراموشی استفاده شده است [3].

### 2-3- طراحی کنترلگر LQG

در قسمت قبل مدل سینماتیکی ربات چرخدار با کمک روش شناسایی سیستم و بر پایه مدل ARMAX به دست آمد. خطی بودن مدل ارائه شده امکان طراحی کنترلگرهای خطی را میسر کرده است. این مدل به صورت زیر می‌باشد.

$$\begin{cases} x(t+1) = \varphi_1(q)x(t) + \Gamma_1(q)v(t) \\ y(t+1) = \varphi_2(q)y(t) + \Gamma_2(q)v(t) \\ \phi(t+1) = \varphi_3(q)\phi(t) + \Gamma_3(q)\omega(t) \\ v(t+1) = v(t) + \frac{T_s}{mL_1}(\tau_1(t) + \tau_2(t)) \\ \omega(t+1) = \omega(t) + \frac{L_2 T_s}{I_{ZZ} L_1}(\tau_1(t) - \tau_2(t)) \end{cases} \quad (15)$$

در رابطه فوق گشتاورهای موتور باید به نحوی تنظیم گردند تا سرعت خطی و زاویه‌ای ربات موجب صفر شدن خطای ردگیری مسیر مرجع شوند. همچنین زمان نمونه برداری می‌باشد. بدین منظور مختصات صفحه‌ای ربات به عنوان متغیرهای حالت سیستم در نظر گرفته شده است.

$$\Lambda = [x, y, \phi, v, \omega]^T \quad (16)$$

بدین ترتیب معادلات حاکم بر سیستم را به صورت زیر می‌توان بازنویسی کرد.

$$\begin{cases} \Lambda(t+1) = \theta(t)\Lambda(t) + \Omega(t)u(t) + \sigma(t) \\ \gamma(t) = \Psi(t)\Lambda(t) + \delta(t) \end{cases} \quad (17)$$

در رابطه فوق  $\sigma$  و  $\delta$  بترتیب نویز سفید متغیرهای حالت و خروجی‌ها می‌باشد. دو نویز سفید مذکور در ماتریس زیر ذخیره شده‌اند [21].

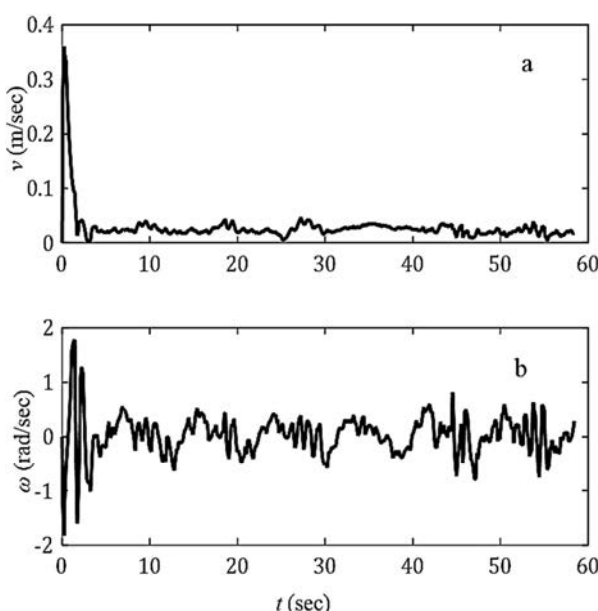
$$\Delta(t) = [\sigma(t)^T, \delta(t)^T]^T \quad (18)$$

در طراحی کنترلگر دانستن ویژگی‌های نویز بسیار مهم است. بدین منظور

<sup>1</sup> Autocorrelation

<sup>2</sup> Cross-Correlation

<sup>3</sup> Akaike Information Criterion



شکل ۴ (a) نمودار سرعت خطی ربات، (b) نمودار سرعت زاویه‌ای ربات

داشته ولی همان‌طور که ذکر شد، این مسئله برای تشخیصی مدل مناسب کافی نمی‌باشد. در این بین برای تشخیصی مدل مناسب، از آزمون آماری دیگری (مربع R) استفاده شده است. این آزمون که بیانگر کارایی مدل بوده، عدد قابل توجهی را برای مدل مرتبه دو گزارش کرده است. این عدد نشانگر کارایی مدل انتخاب شده در تخمین متغیر می‌باشد. در نتیجه مدل مرتبه دو برای بیان حرکت ربات گزینه مناسبی می‌باشد.

میانگین خطای تخمین برای مختصات مکانی در حد میلی‌متر بوده و مدل به خوبی متغیرهای مذکور را تخمین زده است. این عدد برای جهت‌گیری ربات نیز در حدود 0.02 رادیان بوده که تخمین مناسبی بوده است. همان‌طور که در مقدمه نیز ذکر شد، در داده‌های آزمایش عواملی چون اصطکاک، لغزش چرخها و دیگر عدم قطعیت‌ها وجود داشته که مدل انتخاب شده نیز این عوامل را در نظر گرفته است.

در "شکل‌های ۵ و ۶"، نمودارهای تخمین داده‌ها به همراه خطای تخمین نشان داده شده است ( $e_i$  بیانگر خطای در راستای  $i = x, y, \phi$  می‌باشد).

شکل‌های فوق کارایی مدل را برای تخمین مختصات و جهت‌گیری ربات را به صورت شهودی نیز به خوبی نشان می‌دهند.

مشخصات فنی سیستم در فضای حالت بازنویسی شده است. با کمک این اطلاعات، معادلات سیستم در فضای حالت بازنویسی شده است. ماتریس‌های فضای

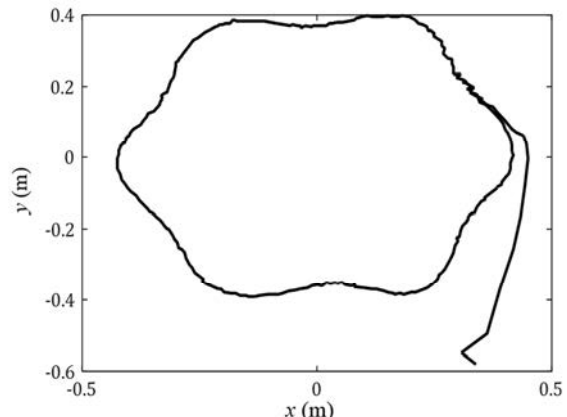
همان‌طور که در "شکل ۲" مشخص است، از خطای ردگیری انتگرال گرفته شده و سپس این سیگنال در مکانیزم کنترلی وارد می‌شود. این کنترلگر در حالت کلی، بدون انتگرال گیر بوده که در اینجا برای ردگیری سیگنال مرجع و صفر شدن خطای ردگیری در حضور عدم قطعیت‌ها اضافه شده است [23]. این کنترلگر با فرضیات فوق، پایداری سیستم مدار بسته را تضمین کرده و بهینه ورودی کنترلی را به سیستم اعمال می‌کند [22]. بدین ترتیب کنترلگر با توجه به مسیر مطلوب، گشتاورهای موتور را به گونه‌ای تنظیم می‌کند تا خطای ردگیری سیگنال هدف با حفظ کمینه مقدار تابع هزینه، به صفر همگرا شود.

#### 4- نتایج

در این بخش ابتدا نتایج حاصل از شناسایی سیستم و انتخاب مدل مورد نظر بیان شده است. در این مقاله علاوه‌بر موارد مطرح شده در مرجع [31]، مدل ARMAX جهت‌گیری ربات ( $\phi$ ) نیز ارائه شده است. مسیر حرکت ربات، سرعت خطی و زاویه‌ای ربات در "شکل‌های ۳ و ۴" نشان داده شده است [24].

تئوری‌های انتخاب مدل ارائه شده در بخش ۱-۳، به داده‌های آزمایش نشان داده شده در شکل‌های فوق اعمال شده و نتایج در جدول ۱ آورده داده شده است. لازم به ذکر است که در این مدل ورودی‌ها سرعت خطی و زاویه‌ای ربات و خروجی مختصات و جهت‌گیری ربات در صفحه بوده است.

همان‌طور که در جدول ۱ مشخص است، اکثر معیارهای انتخاب مدل، یک مرتبه برای مدل پیشنهاد داده‌اند. آزمون‌های آماری در انتخاب مدل، اختلاف ناچیزی داشته‌اند. مدل مرتبه دو میانگین خطای بسیار پایینی



شکل ۳ مسیر اندازه‌گیری شده حرکت ربات

شکل ۳ مسیر اندازه‌گیری شده حرکت ربات

جدول ۱ مشخصات و جزئیات مدل‌های انتخاب شده

Table 1 Properties of the proposed models

								تست‌های انتخاب مدل			
$\phi$				y				x			
F	AC	CC	AIC	F	AC	CC	AIC	F	AC	CC	AIC
2	3	2	2	2	2	4	2	2	2	4	2
$\phi(t+1) = 1.00\phi(t) - 1.82e_{-2}\omega(t)$				$y(t+1) = 0.99y(t) - 9.15e_{-3}v(t)$				$x(t+1) = 0.99x(t) - 3.42e_{-4}v(t)$			
2.5994e-2 (rad)				1.5399e-3 (m)				1.1022e-3 (m)			
99.2881				99.9486				99.9843			
								مقادیر آزمون مربع R (%)			

$$\begin{aligned}
 A &= \begin{bmatrix} 0.99 & 0 & 0 & -3.42e_{-4} & 0 \\ 0 & 0.99 & 0 & -9.20e_{-3} & 0 \\ 0 & 0 & 1 & 0 & -1.82e_{-2} \\ 0 & 0 & 0 & 1 & 0 \\ 0 & 0 & 0 & 0 & 1 \end{bmatrix} \\
 B &= \begin{bmatrix} 0 & 0 & 0 & 0.05 & 0.2 \end{bmatrix}^T \\
 C &= I_{3 \times 5} \\
 D &= O_{3 \times 2}
 \end{aligned} \tag{28}$$

در رابطه (28) و  $O$  به ترتیب ماتریس‌های همانی و صفر می‌باشند.

قبل از طراحی کنترلگر، وضعیت کنترل‌پذیری و مشاهده‌پذیری سیستم مورد بررسی قرار گرفته است. بدین منظور ماتریس‌های زیر تعریف شده‌اند.

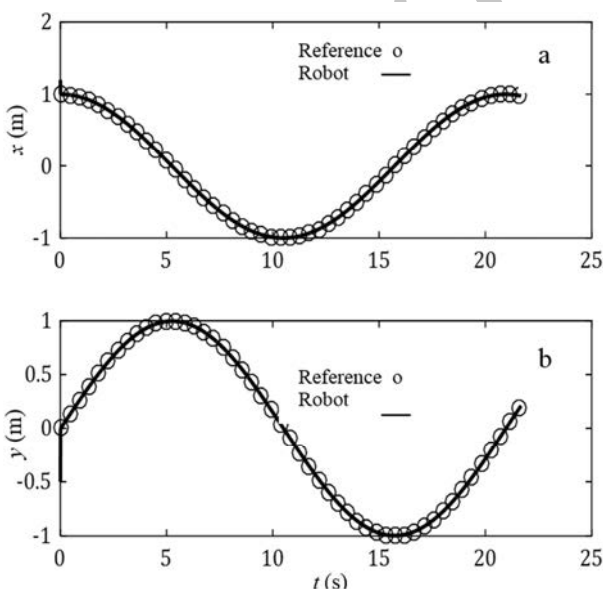
$$\begin{aligned}
 Co &= [B \ AB \ \dots \ A^4B] \\
 Ob &= [C \ CA \ \dots \ CA^4]^T
 \end{aligned} \tag{29}$$

مقادیر ماتریس‌های فوق در پیوست ارائه شده است. دو ماتریس فوق مرتبه کامل بوده و بیانگر عدم وجود کنترل‌ناپذیری و مشاهده‌ناپذیری در سیستم می‌باشد.

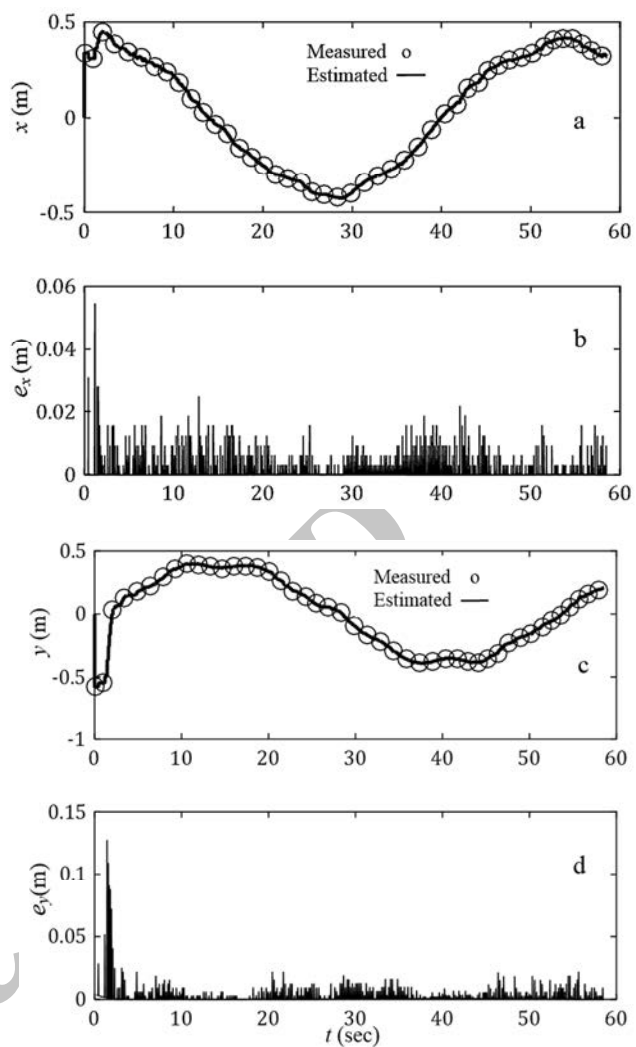
به منظور سنجش کارایی کنترلگر طراحی شده، یک مسیر مرجع به صورت دایره‌ای تعریف شده و ردگیری مسیر توسط ربات مورد بررسی قرار گرفته است (ماتریس‌های ضرایب وزنی کنترلگر در پیوست ذکر شده است).

با تنظیم گشتاورهای موتور توسط کنترلگر و اعمال سرعت خطی و زاویه‌ای مطلوب به ربات، حاصل ردگیری سیگنال مرجع برای مختصات صفحه‌ای به شکل زیر بوده است (شکل‌های 7 و 8). لازم به ذکر است که شرایط اولیه ربات در خارج از دایره مرجع انتخاب شده است.

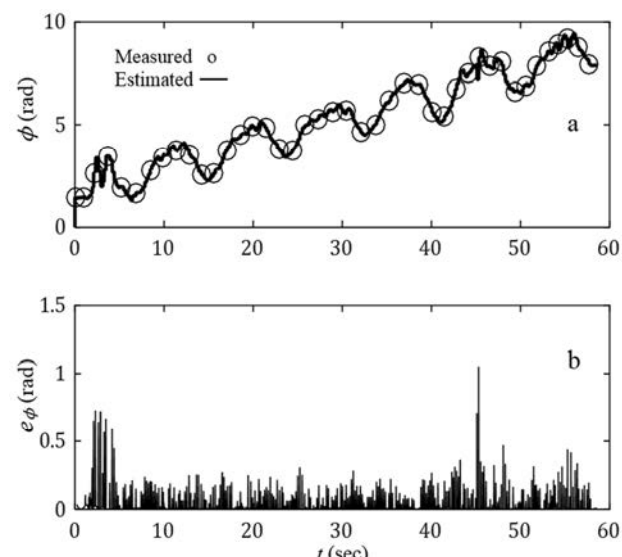
در "شکل‌های 7 و 8"، محور افقی زمان بوده و زمان نمونه‌برداری 0.01 ثانیه بوده است. همان‌طور که در "شکل 8" مشخص است، ربات با شرایط اولیه (0.5, 1.2)- حرکت خود را آغاز کرده است. در ابتدای حرکت کنترلگر با تنظیم گشتاورهای موتور، سرعت‌های خطی و زاویه‌ای مطلوب را ایجاد کرده تا ربات بر روی مسیر مرجع از پیش تعیین شده قرار گیرد. با قرار گرفتن ربات بر روی مسیر مرجع، خطأ به سمت صفر رفته و کارایی کنترلگر در رسیدن به هدف طراحی، مشخص می‌گردد. لازم به ذکر است سرعت همگرایی ربات به مسیر مرجع، بستگی به تنظیم پارامترهای کنترلگر



شکل 7 مسیر طی شده ربات در راستای (a) x (b) y (a) راستای x (b) راستای y



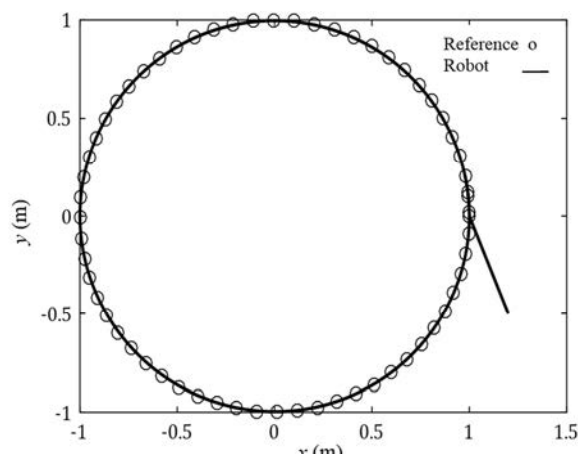
شکل 5 نمودارهای موقعیت و خطای تخمین (a) (b) راستای x (c) (d) راستای y



شکل 6 (a) Orientation, (b) prediction error ( $\theta$  direction)

$$Ob = \begin{bmatrix} 1 & 0 & 0 & 0 & 0 \\ 0 & 1 & 0 & 0 & 0 \\ 0 & 0 & 1 & 0 & 0 \\ 0.99 & 0 & 0 & -3e_4 & 0 \\ 0 & 0.99 & 0 & -9e_3 & 0 \\ 0 & 0 & 1 & 0 & 0.02 \\ 0.98 & 0 & 0 & -7e_4 & 0 \\ 0 & 0.98 & 0 & -0.02 & 0 \\ 0 & 0 & 1 & 0 & 0.04 \\ 0.97 & 0 & 0 & -1e_3 & 0 \\ 0 & 0.97 & 0 & -0.03 & 0 \\ 0 & 0 & 1 & 0 & 0.06 \\ 0.96 & 0 & 0 & -1e_3 & 0 \\ 0 & 0.96 & 0 & -0.04 & 0 \\ 0 & 0 & 1 & 0 & 0.08 \end{bmatrix}$$

در روابط فوق  $e_i = 10^{-i}, (i = 1, 2, 3, \dots)$  می‌باشد.



شکل 8 مسیر طی شده ربات در صفحه

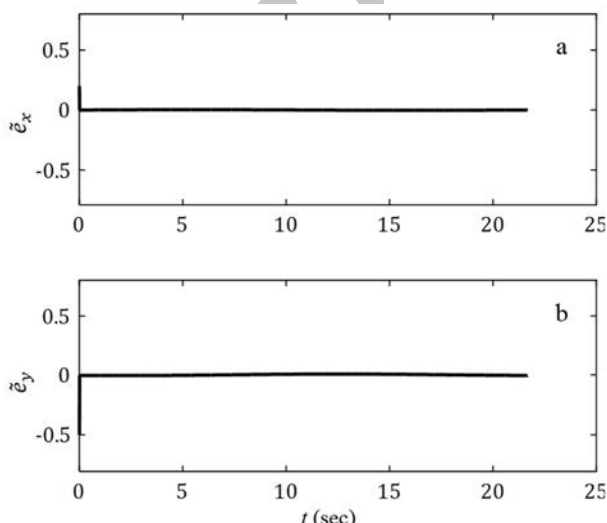
در نهایت نویسنده‌گان کمال تشكر و قدردانی را از دکتر علی کیماسی خلجی برای مهیا کردن داده‌های آزمایش دارند. همچنین تگارندگان از "صندوق حمایت از پژوهشگران و فناوران کشور" به دلیل حمایت مالی در راستای به ثمر رسیدن این مقاله کمال تشكر را دارند (شماره طرح: 94000927).

## 6- نتیجه‌گیری

در این مقاله به منظور کنترل ربات‌های زمینی چرخدار غیرهولونومیک، کنترلگر بهینه LQG طراحی شده است. در طراحی این کنترلگر از معادلات گسسته برپایه مدل ARMAX و با کمک اصول شناسایی سیستم استفاده شده است. برای ارائه مدل و یافتن مرتبه مناسب بهمنظور توصیف حرکت سیستم، از آزمون‌های آماری مختلفی استفاده شده است. در ادامه بررسی کارایی این مدل‌ها با کمک آزمون مربع R انجام شده است. برای صحبت‌سنگی مدل ارائه شده، مکانیزم شناسایی سیستم طراحی شده به داده‌های آزمایش عملی اعمال شده و نتایج کارایی مناسب مدل ارائه شده در تخمین مسیر حرکتی ربات را نشان داده است. در ادامه برای ردگیری مسیر هدف، یک کنترلگر بهینه LQG طراحی شده است. سیستم کنترلی طراحی شده برای تخمین متغیرهای حالت سیستم، مجهز به یک مشاهده‌گر کالمون مجهز شده است. در نهایت سیستم مدار بسته کنترل شده شبیه‌سازی شده و نتایج عملکرد مناسب کنترلگر طراحی شده در ردگیری مسیر مرجع را نشان داده است.

## 7- مراجع

- [1] S. G. Tzafestas, *Introduction to Mobile Robot Control*, First Edition, pp. 70-78, London: Elsevier Science, 2014.
- [2] O. Akanyeti, U. Nehmzow, S. A. Billings, Robot training using system identification. *Robotics and Autonomous Systems*, Vol. 56, No. 12, pp. 1027-1041, 2008.
- [3] P. Nourizadeh, A. Yousefi-koma, M. Ayati, System identification and model validation of nonholonomic wheeled mobile robots, *International Conference on Robotics and Mechatronics (ICROM)*, Tehran, pp. 586-592, 2015.
- [4] S. M. Moore, J. C. S. Lai, K. Shankar, ARMAX model parameter identification in the presence of unmeasured excitation-I: Theoretical background, *Mechanical Systems and Signal Processing*, Vol. 21, No. 4, pp. 1601-1615, 2007.
- [5] S. M. Moore, J. C. S. Lai, K. Shankar, ARMAX model parameter identification in the presence of unmeasured excitation-II: Numerical and experimental, *Mechanical Systems and Signal Processing*, Vol. 21, No. 4, pp. 1616-1641, 2007.
- [6] P. N. Guerra, P. J. Alsinia, A. A. D. Medeiros, A. P. Araujo, Linear modelling and identification of a mobile robot with differential drive, *International Conference on Information in Control, Automation and Robotics*, Setubal, Portugal, pp. 263-269, 2004.



شکل 9 نمودار خطای ردگیری (a) راستای x (b) راستای y

می‌باشد. نمودار خطای ردگیری در "شکل 9" آورده شده است (در شکل زیر،  $\tilde{e}_i$  بیانگر خطای ردگیری در راستای  $i$  ( $i=x, y$ ) می‌باشد). همان‌طور که در شکل فوق مشخص است، خطای ردگیری سیگنال مرجع در ابتدا به واسطه شرایط اولیه، غیرصفر بوده و با گذشت زمان اندکی این خطای به سمت صفر همگرا می‌شود.

## 5- تقدیر و تشكر و پیوست

### 5-1- پیوست

مشخصات فنی ربات به صورت زیر است.

$$\begin{aligned} m &= 2 \text{ kg}, L_i = 0.1 \text{ m} \\ L_2 &= 0.2 \text{ m}, I_{zz} = 0.1 \text{ kgm}^2 \end{aligned}$$

ماتریس‌های کنترل‌پذیری و مشاهده‌پذیری:

$$Co = \begin{bmatrix} 0 & 0 & -2e_5 & -2e_5 & -3e_5 & -3e_5 & 5e_5 \\ 0 & 0 & -5e_4 & -5e_4 & -9e_4 & -9e_4 & -1e_3 \\ 0 & 0 & 4e_3 & -4e_3 & 8e_3 & -8e_3 & 12e_3 \\ 0.05 & 0.05 & 0.05 & 0.05 & 0.05 & 0.05 & 0.05 \\ 0.2 & -0.2 & 0.2 & -0.2 & 0.2 & -0.2 & 0.2 \\ & & & & -5e_5 & -7e_5 & -7e_5 \\ & & & & -1e_3 & -2e_3 & -2e_3 \\ & & & & -12e_3 & 16e_3 & -16e_3 \\ & & & & 0.05 & 0.05 & 0.05 \\ & & & & -0.2 & 0.2 & -0.2 \end{bmatrix}$$

- [16] P. Oryschuk, A. Salerno, A. M. Al-husseini, J. Angeles, Experimental validation of an underactuated two-wheeled mobile robot, *IEEE/ASME Transactions on Mechatronics*, Vol. 14, No. 2, pp. 252-257, 2009.
- [17] M. Rahimi Bidgoli, A. Keymasi Khalaji, S. A. A. Moosavian. Trajectory tracking control of a wheeled mobile robot by a non-model-based control algorithm using PD-action filtered errors, *Modares Mechanical Engineering*, Vol. 14, No. 12, pp. 171-178, 2014. (in Persian) [فارسی](#)
- [18] M. H. Korayem, M. Nazemizadeh, H. Ghaffarpour, Optimal path planning of nonholonomic mobile robots using optimal control method and verification of the method via experimental tests of the Scout mobile robot, *Modares Mechanical Engineering*, Vol. 12, No. 2, pp. 87-94, 2012. (in Persian) [فارسی](#)
- [19] T. Soderstrom, P. Stoica, *System Identification*, First Edition, pp. 422-440, London: Prentice Hall, 1989.
- [20] D. C. Montgomery, *Design and Analysis of Experiments*, Eighth Edition, pp. 449-472, New York: Wiley, 2013.
- [21] E. Mosca, *Optimal, predictive, and Adaptive Control*, First Edition, pp. 187-196, London: Prentice Hall, 1994.
- [22] S. Skogestad, I. P. Hwaite, *Multivariable Feedback Control: Analysis and Design*, Second Edition, pp. 355-368, New York: Wiley, 2001.
- [23] K. J. Astrom, R. M. Murray. *Analysis and Design of Feedback Systems*. Preprint, 2005, Accessed on 14 Jun 2016; <http://www.cds.caltech.edu/~murray/am05>.
- [24] A. K. Khalaji, S. A. A. Moosavian, Robust adaptive controller for a tractor-trailer mobile robot, *IEEE Transactions on Mechatronics*, Vol. 19, No.3, pp. 943-953, 2014.
- [7] E. P. Mendes, A. A. D. Medeiros, Identification of quasi-linear dynamic model with dead zone for mobile robot with differential drive, *Robotics Symposium and Intelligent Robotics Meeting*, Latin America, pp. 132-137, 2010.
- [8] H. Mehrjerdi, J. Ghommam, M. Saad, Nonlinear coordination control for a group of mobile robots using virtual structure, *Mechatronics*, Vol. 21, No. 7, pp. 1147-1155, 2011.
- [9] R. P. M. Chan, K. A. Stol, C. R. Halkyard, Review of modelling and control of two-wheeled robots, *Annual Reviews in Control*, Vol. 37, No. 1, pp. 89-103, 2013.
- [10] J. Xu, Z. Guo, T. H. Lee, Design and implementation of integral sliding-mode control on and underactuated two-wheeled mobile robot, *IEEE Transactions on Industrial Electronics*, Vol. 61, No. 7, pp. 3671-3681, 2014.
- [11] U. Farooq, J. Gu, J. Luo, An interval type-2 fuzzy LQR positioning controller for wheeled mobile robot, *International Conference on Robotics and Biomimetics (ROBIO)*, Shenzhen, pp. 2403-2407, 2013.
- [12] J. Ye, Tracking control of an non-holonomic wheeled mobile robot using improved compound cosine function neural networks, *International Journal of Control*, Vol. 88, No. 2, pp. 364-373, 2015.
- [13] H. Gao, X. Song, L. Ding, K. Xia, N. Li, Z. Deng, Adaptive motion control of wheeled mobile robot with unknown slippage, *International Journal of Control*, Vol. 87, No. 8, pp. 1513-1522, 2014.
- [14] S. Shi, X. Yu, S. Khoo, Robost finite-time tracking control of non-holonomic mobile robots without velocity measurments, *International Journal of Control*, Vol. 89, No. 2, pp. 411-423, 2016.
- [15] K. J. Kalinski, M. Mazur, Optimal control of 2-wheeled mobile robot at energy performance index, *Mechanical Systems and Signal Processing*, Vol. 70-71, No. 1, pp. 373-386, 2016.